## \_\_\_\_ ФИЗИЧЕСКАЯ ХИМИЯ ПРОЦЕССОВ \_\_\_\_ ГОРЕНИЯ И ВЗРЫВА

УЛК 614:841.12

# ВЛИЯНИЕ СОСТОЯНИЯ ПОВЕРХНОСТИ РЕАКЦИОННОГО СОСУДА НА ХАРАКТЕРИСТИКИ ГОРЕНИЯ ГАЗОВЫХ СМЕСЕЙ, СОДЕРЖАЩИХ ГАЛОГЕНЗАМЕЩЕННЫЙ УГЛЕВОДОРОД

© 2023 г. С. Н. Копылов $^{a,b,*}$ , П. С. Копылов $^{c}$ , И. П. Елтышев $^{c}$ , И. Р. Бегишев $^{c}$ 

 $^a$ Всероссийский научно-исследовательский институт противопожарной обороны, Балашиха, Россия  $^b$ Национальный исследовательский ядерный университет "МИФИ", Москва, Россия  $^c$ Академия государственной противопожарной службы, Москва, Россия

\*e-mail: firetest@mail.ru
Поступила в редакцию 28.01.2023 г.
После доработки 28.01.2023 г.
Принята к публикации 22.02.2023 г.

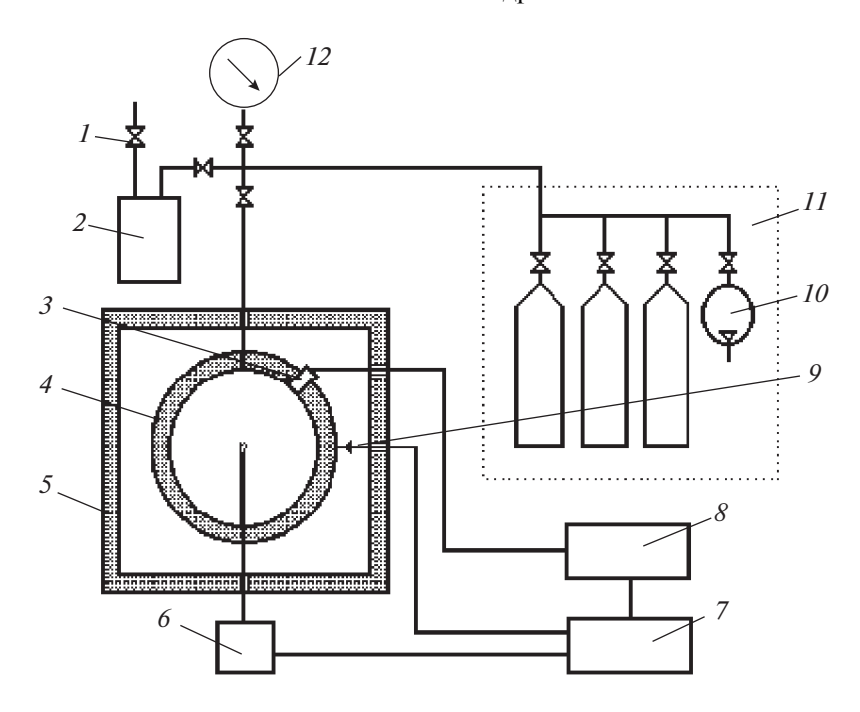
Экспериментально исследовано влияние стенки реакционного сосуда на горение при атмосферном давлении газовых смесей, содержащих галогенированные углеводороды. Показано, что при загрязнении стенки продуктами горения поступление с нее в объем дополнительных количеств брома или йода снижает эффективность ингибирования бром- и йодсодержащих углеводородами горения водородовоздушных смесей (эффект сильнее выражен для йодированных веществ), ослабляет самочигибирование горения бромистого этила в смеси с воздухом, что приводит к расширению концентрационной области распространения пламени. На основании анализа известных кинетических данных экспериментально наблюдаемая картина объясняется уменьшением роли цикла регенерации HI при ингибировании йодированным углеводородом горения водорода в воздухе и снижением скорости реакции бромированных углеводородов с атомарным водородом при поступлении со стенки реакционного сосуда дополнительных количеств  $I_2$  и  $Br_2$ .

*Ключевые слова*: горение газов, промотирование, влияние стенки, пары йода, пары брома, галогенированные углеводороды

DOI: 10.31857/S0044453723080113, EDN: QVBFDF

При оценке влияния различных факторов на характеристики горения при атмосферном давлении газовых смесей, содержащих галогенированные углеводороды, чаще всего рассматривается влияние размера и формы реакционного сосуда на концентрационные пределы распространения пламени (КПР) [1–3]. Исследования роли состояния поверхности реакционного сосуда в рассматриваемых процессах немногочисленны. При этом данный фактор может быть весьма значим. Так, в [4] при изучении горения бромистого этила в смеси с воздухом при атмосферном давлении в цилиндрическом сосуде объемом 10 дм<sup>3</sup> (диаметр 25 см) было обнаружено, что при загрязнении стенок реакционного сосуда продуктами горения  $C_2H_5Br$  его верхний концентрационный предел распространения пламени возрастает более чем на 60%, с 7.9 до 13 об. %, а положение предела зависит от степени загрязнения стенок сосуда. Этот эффект объясняется авторами обогащением богатой горючей смеси сильным окислителем - бромом, выделяющимся с загрязненной продуктами горения поверхности реакционного сосуда.

В [5] минимальная концентрация  $C_2F_4Br_2$ , делающая невозможным горение смесей Н<sub>2</sub> с воздухом любого состава (минимальная флегматизирующая концентрация, МФК), указывается в виде интервала 14.4-15.6 об. %, при том, что это однозначно определяемый в конкретных условиях эксперимента параметр. К сожалению, автор [5] никак не объясняет этот результат. В работе [6] для горения смесей Н2-воздух получено аномально высокое значение МФК  $C_2F_5I$  (37.5 об. %) по сравнению с МФК  $C_2F_5C1$  (28.0 об. %), что противоречит известным данным об ингибировании горения газов галогенированными углеводородами (эффективность ингибитора увеличивается в ряду  $Cl \ll Br < I [7]$ ). Этот эффект объясняется в [6] более низкой скоростью избирательной диффузии атомов Н во фронт пламени бедной смеси  $H_2$ -воздух в присутствии  $C_2F_5I$ . Можно предположить, что наблюдаемый результат является следствием тех же процессов, которые приводят к расширению области распространения пламени, описанному в [4].



**Рис. 1.** Схема экспериментальной установки "Вариант": I — кран, 2 — парогенератор, 3 — датчик давления, 4 — реакционный сосуд, 5 — термостат, 6 — устройство зажигания, 7 — контрольная панель, 8 — осциллограф, 9 — термопара, 10 — вакуумный насос, 11 — система ввода газов, 12 — вакуумметр.

Таким образом, наличие в молекуле галогензамещенного углеводорода атомов Вг или I обусловливает сложную экспериментальную картину при определении характеристик горения при атмосферном давлении газовых смесей, содержащих галогензамещенные углеводороды. Также нет общепринятого объяснения наблюдаемым явлениям. Настоящая работа посвящена продолжению исследований в данном направлении.

#### ЭКСПЕРИМЕНТАЛЬНАЯ ЧАСТЬ

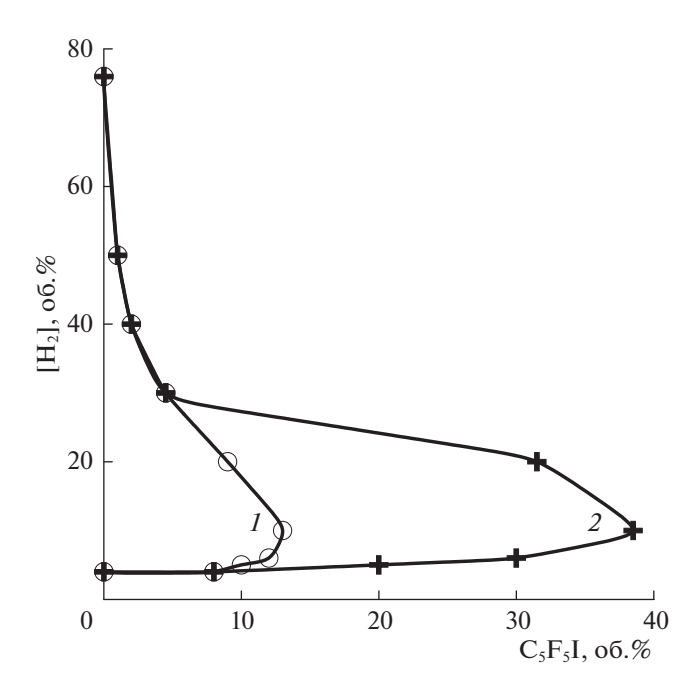
Исследовалось горение при атмосферном давлении и комнатной начальной температуре смесей  $H_2$ —воздух—галогензамещенный углеводород из ряда  $C_2F_5H$ ,  $C_2F_5Cl$ ,  $C_2F_5I$ ,  $C_2F_4Br_2$ ,  $C_4F_{10}$ . Эксперименты проводились на установке "Вариант", схема которой представлена на рис. 1. Установка предназначена для измерения КПР, максимального давления взрыва  $\Delta P_{\rm max}$  и максимального давления давления взрыва  $(dP/dt)_{\rm max}$  в диапазоне давлений 0.1—4.0 МПа. Относительная погрешность определения КПР,  $\Delta P_{\rm max}$  и  $(dP/dt)_{\rm max}$  не превышала 10%.

Реакционный сосуд установки — сфера из нержавеющей стали диаметром 20 см (объем 4.2 л). Газовые смеси зажигались в центре реакционного сосуда при помощи искрового источника зажигания с энергией 2 Дж. Распространение пламени регистрировалось по показаниям датчика давления "Сапфир-22" с постоянной времени 3 ×

 $\times$  10<sup>-3</sup> с, с записью на цифровом осциллографе. Принималось, что распространение пламени имеет место, если рост давления превышает 30 кПа.

Смеси требуемого состава создавались по парциальным давлениям непосредственно в предварительно вакуумированном до  $0.5 \, \mathrm{k}\, \mathrm{\Pi}\mathrm{a}$  реакционном сосуде в следующем порядке: сначала в сосуд подавался галогензамещенный углеводород, затем водород, затем водород, затем воздух до давления, равного атмосферному. После этого  $10 \, \mathrm{минут}$  отводилось на перемешивание смеси, а затем смесь зажигалась. В ходе эксперимента фиксировались  $\Delta P_{\mathrm{max}}$  и  $(dP/dt)_{\mathrm{max}}$ . По полученным данным определялось значение КПР. Для каждой концентрации водорода и галогенсодержащего соединения опыт повторялся трижды.

При определении КПР использовались две методики: в первой (далее — методика 1) при фиксированном содержании  $H_2$  в смеси концентрация галогензамещенного углеводорода в ней уменьшалась до значений, при которых начинает распространяться пламя. Во второй (далее — методика 2) при фиксированном содержании  $H_2$  концентрация галогензамещенного углеводорода в смеси увеличивалась от 0 до значения, при котором распространение пламени в смеси прекращается.



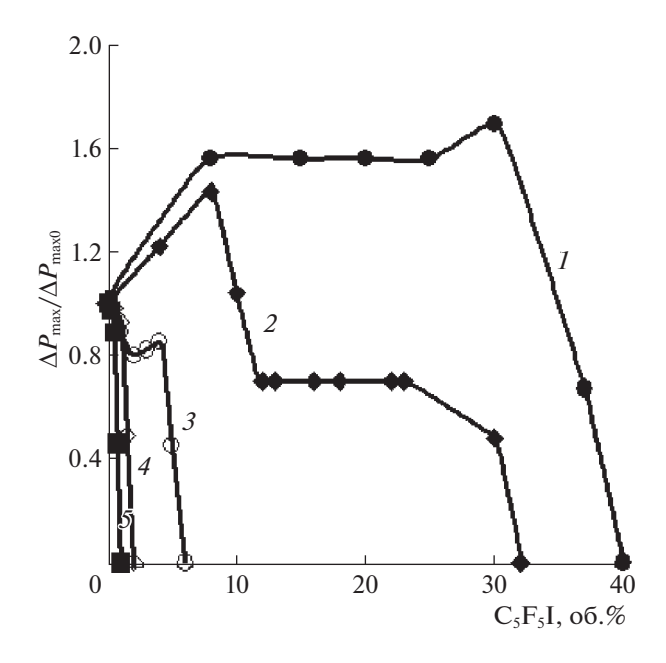
**Рис. 2.** Влияние состояния поверхности реакционного сосуда на область распространения пламени в смеси  $H_2$ — $C_2F_5I$ —воздух; I — на поверхности сосуда находятся продукты горения указанной смеси, 2 — чистая поверхность реакционного сосуда.

### ОБСУЖДЕНИЕ РЕЗУЛЬТАТОВ

По методикам 1 и 2 для смеси  $H_2$  с  $C_2F_5I$  и воздухом были получены области распространения пламени, ограниченные кривыми I и 2 на рис. 2.

Очевидно, что две описанные методики дают очень сильно различающиеся результаты: значения МФК, определенные для  $C_2F_5I$  по ним, различаются почти в 3 раза (13 и 37.5 об. % соответственно). Это происходит из-за того, что в первом случае поверхность реакционного сосуда при определении предела распространения пламени чистая, а во втором загрязнена продуктами горения, образовавшимися в предыдущих опытах: на свече зажигания и на поверхности сосуда обнаруживается большое количество кристаллов йода, сильно увеличивающееся от эксперимента к эксперименту. При извлечении свечи зажигания из сосуда видно, как с ее поверхности поднимается темно-фиолетовый пар.

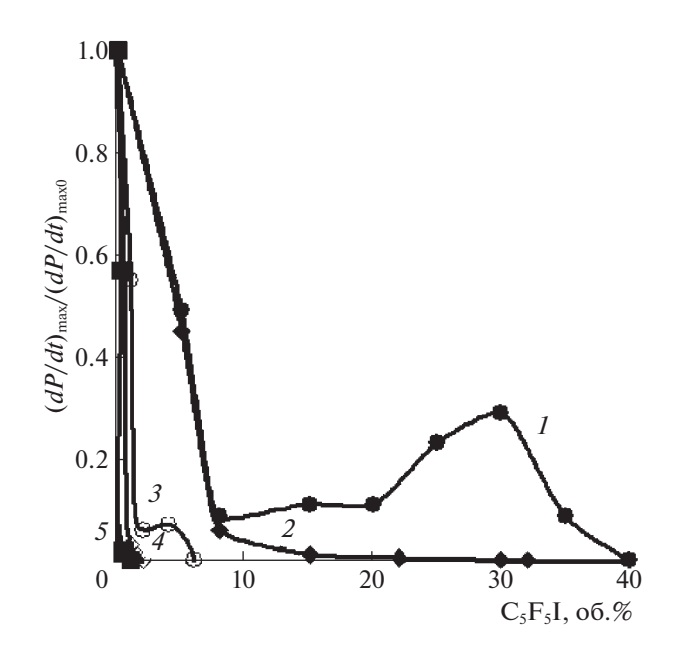
Состояние поверхности реакционного сосуда сказывается и на других характеристиках процесса горения. На рис. 3, 4 показано, как наличие на ней образовавшихся в предыдущих опытах продуктов горения влияет на изменение  $\Delta P_{\text{max}}$  и  $(dP/dt)_{\text{max}}$  для смесей  $H_2$  с воздухом различного состава при добавлении  $C_2F_5I$ . Размерные нормировочные коэффициенты  $\Delta P_{\text{max o}} = 290$ , 460, 640, 610, 520 кПа,  $(dP/dt)_{\text{max o}} = 3$ , 6, 98, 155, 230,



**Рис. 3.** Зависимости максимального давления взрыва водородовоздушных смесей от концентрации  $C_2F_5I$ . Концентрация водорода в воздухе 10 (1), 20 (2), 30 (3), 40 (4), 50 об. % (5).

240 МПа/с при  $[H_2]$  = 10, 20, 30, 40, 50 об. % соответственно.

Видно, что при использовании методики 2, пока количество  $I_2$  на стенках реакционного сосу-



**Рис. 4.** Зависимости максимальной скорости нарастания давления взрыва водородовоздушных смесей от концентрации  $C_2F_5I$ . Концентрация водорода в воздухе 10 (1), 20 (2), 30 (3), 40 (4), 50 об. % (5).

**Таблица 1.** МФК различных ингибиторов горения смеси  $H_2$ —воздух

Ингибитор	C <sub>2</sub> F <sub>5</sub> I		C <sub>2</sub> F <sub>5</sub> H		C <sub>2</sub> F <sub>5</sub> Cl		$C_2F_4Br_2$		$C_4F_{10}$	
Методика	1	2	1	2	1	2	1	2	1	2
МФК, об. %	13.0	37.5	16.5	16.5	27.5	27.5	12.0	16.0	17.0	17.0
Источник данных	с.д.	с.д.	с.д.	с.д.	с.д.	с.д., [6]	с.д.	с.д., [8, 9]	с.д.	с.д.

Обозначения: с.д. – собственные данные.

да невелико, значения  $\Delta P_{\rm max}$  и  $(dP/dt)_{\rm max}$  уменьшаются. К 3—4 опыту на стенках накапливается существенное количество  $I_2$ , что для смесей с  $[H_2]=30$  об. % и менее приводит к возрастанию  $\Delta P_{\rm max}$  и  $(dP/dt)_{\rm max}$  при увеличении содержания  $C_2F_5I$ .

Аналогичные исследования были выполнены при добавлении в водородовоздушную смесь других галогенированных углеводородов; проведено сравнение результатов с имеющимися в литературе данными (табл. 1), из которого следует, что различия в значениях МФК, определенных по методикам 1 и 2, нет для галогенсодержащих веществ, в молекулу которых входят атомы фтора и хлора. Для йодированных и бромированных соединений есть существенные различия (значительно более сильные в случае иодида). При горении смеси  $H_2$ — $C_2$ F $_4$ Br $_2$ —воздух на поверхности реакционного сосуда также оседает большое количество продуктов горения, в частности, HBr и  $Br_2$ .

Для объяснения полученных результатов можно предложить следующую трактовку. Известно [10], что высокая ингибирующая эффективность йодсодержащих углеводородов по отношению к горению водородсодержащих горючих определяется не столько актом первичного ингибирования по реакции вида

$$H + C_2F_5I = C_2F_5 + HI,$$
 (1)

сколько последующей реализацией цикла с участием HI:

$$H + HI = H_2 + I, \tag{2}$$

$$H + I + M = HI + M, \tag{3}$$

где M — любая третья частица. Как уже отмечалось, при проведении экспериментов после вакуумирования реакционного сосуда и задания в нем новой смеси  $H_2$ — $C_2F_5I$ —воздух, смесь выдерживалась в реакционном сосуде в течение 10 минут для перемешивания компонентов. При использовании методики 2 за это время с поверхности сосуда успевает испариться достаточно большое количество молекулярного йода (давление его насыщенных паров при температуре 293 K составляет

26.6 Па [11]). После зажигания смеси  $I_2$  распадается на атомы по реакции

$$I_2 + M = I + I + M \tag{4}$$

вследствие небольшой энергии связи в молекуле  $I_2$  (149.1 кДж [12]). Образовавшийся атомарный йод может участвовать в реакции

$$I + C_2 F_5 I = C_2 F_5 + I_2. (5)$$

Значимое влияние молекулярного йода на деструкцию йодсодержащих углеводородов хорошо известно. Впервые его промотирующая роль по отношению к распаду  $C_4H_9I$  показана в [12], причем, как следует из выполненного в [12] анализа, за промотирование ответственна последовательность реакций, аналогичных (4) и (5). Определяющая роль реакций типа (4) и (5) при пиролизе CH<sub>3</sub>I, CF<sub>3</sub>I, C<sub>2</sub>F<sub>5</sub>I и C<sub>4</sub>F<sub>9</sub>I при 500-700 К и атмосферном давлении установлена в [13, 14]. Учитывая значения энергии связи І-І и С-І в молекуле  $C_2F_5I$  (149.1 кДж [12] и 211.7 кДж [14] соответственно), можно ожидать, что при температурах 1000-1200 К, реализуемых при горении смеси водород-воздух, реакции (4) и (5) также окажутся существенными.

Однако, процесс (5), хотя и является конкурирующим по отношению к (1), не может привести к деактивации йодсодержащего ингибитора горения водорода, так как его скорость при температурах, реализующихся при горении, оказывается на несколько порядков меньше. Рассмотрим в качестве примера горение при начальном атмосферном давлении водородовоздушной смеси, содержащей 10 об. % Н2 и 4 об. % йодсодержащего ингибитора. Согласно [15], в пламени смеси 10 об. % водород -90 об. % воздух при температуре 1000 К мольная доля атомарного водорода равна  $5 \times 10^{-3}$ ; если смесь ингибирована 4 об. % CF<sub>3</sub>I, мольная доля атомов йода в пламени при  $T = 1000 \, \mathrm{K}$ составляет  $8 \times 10^{-5}$  [16]. По нашей оценке, выделение молекулярного йода со стенок реакционного сосуда максимально добавляет еще  $5 \times 10^{-3}$  к мольной доле атомов I. Поскольку для реакций (1) и (5) энергии активации равны  $E_1 = 70.42$  кДж/ моль и  $E_5 = 21.56 \text{ кДж/моль}, а значения предэкспонен$ циального множителя в выражении константы

скорости реакции составляют  $k_1 = 10^{-11}$  см<sup>3</sup> молек<sup>-1</sup> с<sup>-1</sup> и  $k_5 = 1.66 \times 10^{-9}$  см<sup>3</sup> молек<sup>-1</sup> с<sup>-1</sup> соответственно [14, 17], получаем для температуры 1000 К отношение их скоростей  $w_5/w_1 \approx 1.7 \times 10^{-5}$ .

Сравним теперь скорость регенерации HI в пламени (3) со скоростью процесса рекомбинашии атомов йода

ответственного за образование молекулярного

$$I + I + M = I_2 + M,$$
 (6)

йода в реагирующей системе, который по завершении горения смеси Н2-воздух с добавкой ингибитора оседает на стенках реакционного сосуда. Используя для оценки кинетические параметры реакции (3) из работы [18] ( $E_3 = 0$  кДж/моль,  $k_3=1.3 imes 10^{-31} \Bigl( {T \over 298} \Bigr)^{-1.87}$  см $^6$  молек $^{-2}$  с $^{-1}$ , где T- температура), а параметры реакции (6) — согласно [19] ( $E_6 = 0$  кДж/моль,  $k_3 = 9.93 \times 10^{-30} \left(\frac{T}{298}\right)^{-5}$  см<sup>6</sup> молек $^{-2}$  с $^{-1}$ ), получаем, что при наличии  $I_2$  на стенках реакционного сосуда перед проведением опыта скорости процессов (3) и (6) при температуре 1000 К для случая горения смеси Н2-воздух- $C_2F_4I$ , содержащей 10 об. %  $H_2$  и 4 об. % ингибитора, соотносятся как  $w_3/w_6 \approx 0.57$ . Таким образом, реакция (6) оказывается способна эффективно конкурировать с процессом (3), разрушая образуемый реакциями (2), (3), цикл регенерации НІ в пламени и тем самым значительно уменьшая

реакция (3) доминирует по отношению к (6), и последняя не оказывает заметного влияния на цикл регенерации HI, что подтверждается данными [16]:  $I_2$  в высокотемпературной зоне пламени не обнаруживается вплоть до приближения процесса горения к завершению, то есть когда концентрация атомарного водорода становится очень малой. В [16] также отмечается, что роль реакции (6) незначима только ввиду малости концентрации атомов I.

эффективность ингибирования горения водорода

в воздухе йодсодержащим веществом. Если же стенки реакционного сосуда перед проведением

эксперимента чистые, для той же горючей смеси

при той же температуре 1000 К  $w_3/w_6 \approx 36.2$ , т.е.

Бромсодержащие ингибиторы воздействуют на горение водородсодержащих веществ по схеме, аналогичной (1)—(3). В отличие от ситуации с воздействием на процесс горения дополнительного количества  $I_2$ , эффект влияния загрязненной бромсодержащими продуктами стенки реакционного сосуда на КПР водородовоздушных

смесей в присутствии тетрафтордибромэтана объясняется последовательностью реакций

$$Br_2 + M = Br + Br + M, (7)$$

$$Br + C_2F_4Br_2 = C_2F_4Br + Br_2,$$
 (8)

последняя из которых способна конкурировать с процессом

$$H + C_2F_4Br_2 = C_2F_4Br + HBr,$$
 (9)

тем самым снижая эффективность ингибирования тетрафтордибромэтаном горения водорода в воздухе. Поскольку для реакции (8) кинетические параметры неизвестны, воспользуемся для оценки сведениями по аналогичной реакции  $\mathrm{CF_3Br}$  [20] ( $E_8=24.3~\mathrm{кДж/моль},\,k_8=1.07\times10^{-10}~\mathrm{cm^3}$  молек $^{-1}~\mathrm{c}^{-1}$ ). Согласно [21], для реакции (9)  $E_9=22.37~\mathrm{кДж/моль},\,k_8=1.49\times10^{-11}~\mathrm{cm^3}$  молек $^{-1}~\mathrm{c}^{-1}$ . Тогда при  $T=1000~\mathrm{K}$  скорости реакций (8) и (9)

соотносятся как  $w_8/w_9 = 57.81\frac{[\mathrm{Br}]}{[\mathrm{H}]}$ . Так как мольная доля атомов Br в пламени смеси 10 об. %  $\mathrm{H_2}-90$  об. % воздух, ингибированной 4 об. %  $\mathrm{CF_3Br}$ , при T=1000 K составляет  $6\times10^{-4}$  [16], с учетом данных [15] по концентрации атомов H и предполагая, что со стенок реакционного сосуда выделяется не меньше  $\mathrm{Br_2}$ , чем  $\mathrm{I_2}$  при использовании йодсодержащего ингибитора, получаем, что  $w_9/w_9\approx64.7$ .

Используя кинетические данные [19], легко можно показать также, что выделение со стенки в реагирующую систему дополнительных количеств брома слабо влияет на соотношение скоростей реакций

$$H + Br + M = HBr + M, (10)$$

$$Br + Br + M = Br_2 + M, \tag{11}$$

для тех же условий, при которых проводилось сравнение скоростей процессов (8) и (9) получаем при  $T=1000~{\rm K}$ , что при отсутствии дополнительного количества брома в реагирующей системе  $w_{10}/w_{11}\approx 1.0$ , а при его наличии  $w_{10}/w_{11}\approx 0.89$ .

Таким образом, испаряющийся со стенок реакционного сосуда молекулярный бром, уменьшая эффективность ингибирования при помощи  $C_2F_4Br_2$ , не оказывает заметного влияния на существенно более значимый с точки зрения подавления процесса горения цикл с участием HBr. В результате эффект влияния стенки выражен значительно слабее, чем в случае йодистого ингибитора.

Аналогичным образом можно объяснить и явление расширения верхнего концентрационного предела распространения пламени бромистого этила в воздухе, обнаруженное в работе [4] в случае, когда стенки реакционного сосуда загрязнены продуктами горения  $C_2H_5$ Br. Выделяющийся

по реакции (7) атомарный бром взаимодействует с  $C_2H_5Br$ :

$$Br + C_2H_5Br = C_2H_5 + Br_2 + 61.3 \text{ кДж},$$
 (12)

уменьшая тем самым возможности для осуществления акта самоингибирования горения бромистого этила

$$H + C_2H_5Br = C_2H_5 + HBr - 84 кДж.$$
 (13)

Так как для реакции (12)  $E_{12}=24.3$  кДж/моль,  $k_{12}=1.07\times 10^{-10}$  см³ молек $^{-1}$  с $^{-1}$  [20], а для процесса (13)  $E_{13}=22.37$  кДж/моль,  $k_8=1.49\times 10^{-11}$  см³ молек $^{-1}$  с $^{-1}$  [22], при температуре T=1000 К скорости реакций (12) и (13) соотносятся как  $w_{12}/w_{13}=0.12\frac{[\mathrm{Br}]}{[\mathrm{H}]}$ . Мольная доля атомов водорода в пламени смеси бромистого этила с воздухом неизвестна, но, согласно [23], для богатых околопредельных смесей этана или пропана с воздухом она не превышает  $2\times 10^{-4}$ . Предполагая, что со стенок реакционного сосуда выделяется не мень-

ше Вг2, чем молекулярного йода в описанном вы-

ше случае использования йодсодержащего инги-

битора, получаем, что  $w_{12}/w_{13} \approx 0.37$ .

Таким образом, экспериментальные результаты, полученные в данной работе и известные из других источников, показывают значительное промотирующее влияние поверхности реакционного сосуда, загрязненной бромом или йодом, на горение газовых смесей, содержащих бром- или йодзамещенные углеводороды. При наличии Вг2 или  $I_2$  на поверхности реакционного сосуда наблюдается снижение ингибирующей эффективности бром- и йодсодержащих веществ по отношению к горению смесей Н<sub>2</sub>-воздух, а также ослабление самоингибирования горения С, Н, Вг в смеси с воздухом, приводящее к расширению КПР. Эффект промотирования сильнее для йодированных веществ. Согласно выполненному анализу известных кинетических данных, экспериментально наблюдаемая картина объясняется уменьшением роли цикла регенерации НІ при ингибировании йодированным углеводородом горения водорода в воздухе при наличии поступающих со стенки реакционного сосуда дополнительных количеств І2; испарившийся со стенки Вг<sub>2</sub>, обеспечивая появление в реагирующей системе дополнительного атомарного брома, снижает скорость реакций бромированных углеводородов с атомами Н, уменьшая эффективность подавления ими горения смеси Н<sub>2</sub>-воздух, а также сокращая возможности реализации акта самоингибирования при горении  $C_2H_5$ Br в воздухе.

Работа проводилась при поддержке Фонда содействия инновациям и по программе "УМНИК" по договорам № 17482 ГУ/2022 от 26 апреля 2022 г. и № 16371 ГУ/2021 от 25 мая 2021 г.

#### СПИСОК ЛИТЕРАТУРЫ

- Баратов А.Н. Горение Пожар Взрыв Безопасность. М.: ФГУ ВНИИПО МЧС России, 2003. 364 с.
- 2. Копылов П.С., Елтышев И.П. // Актуальные проблемы пожарной безопасности: тез. докл. XXX Междунар. науч.-практ. конф. М: ВНИИПО. 2018. С. 415.
- 3. *Копылов С.Н.* Пожаровзрывобезопасность. М.: НИЯУ МИФИ. 2015. 102 с.
- 4. *Макеев В.И., Голиневич Г.Е., Глухов И.С.* // Пожарная профилактика. М.: ВНИИПО, 1977. С. 24.
- Dixon-Lewis G. // Proceedings of Royal Society (London). 1996. A452. P. 1857.
- 6. Shebeko Yu.N., Azatyan V.V., Bolodyan I.A. et al. // Combustion and Flame. 2000. V. 121. P. 542.
- 7. *Денисов Е.Т., Азатян В.В.* Ингибирование цепных реакций. М.: Изд-е РАН. 1997. 288 с.
- 8. *Баратов А.Н.* // сб. Проблемы горения и тушения. М.: ВНИИПО, 1968. С. 32.
- 9. *Азатян В.В., Айвазян Р.Г., Калачев В.И. и др. //* Хим. физика. 1998. Т. 17. № 2. С. 117
- Kopylov S.N., Kopylov P.S., Yeltyshev I.P. et al. // IOP Conference Series: Earth Environmental Science. 2021. V. 666. P. 022011.
- 11. *Киреев С.В., Шнырев С.Л.* Современные методы оптической спектроскопии технологических сред. М.: Изд-во Юрайт, 2019. 147 с.
- 12. Семенов Н.Н. О некоторых проблемах химической кинетики и реакционной способности. М.: Изд-во АН СССР, 1958. 354 с.
- 13. *Васильева Н.А., Кочубей Д.И., Буянов Р.А. и др. //* Кинетика и катализ. 1982. Т. 23. С. 486.
- 14. *Скоробогатов Г.А., Дымов Б.П., Хрипун В.К.* // Там же. 1991. Т. 32. С. 252.
- Shvartzberg V.M., Bolshova T.A., Korobeinichev O.P. // Energy Fuels. 2010. V. 24. P. 1552.
- McIlroy A. // Proceedings of Halons Technical Options Working Conference. Albuquerque: University of New Mexico, 1996. P. 247.
- 17. Varga T., Zsely I.G., Turanyi T. et al. // Intern. J. on Chemical Kinetics. 2014. V. 46. P. 295.
- Лифшиц А., Тамбуру С., Дубникова Ф. // Журн. физ. химии. 2008. Т. 112. С. 925.
- Baulch D.L., Duxbury J., Grant S.J. et al. // J. Phys. Chem. Ref. Data. 1981. V. 10. P. 1.
- 20. Кондратьев В.Н. Константы скорости газофазных реакций. М.: Наука, 1970. 351 с.
- 21. *Петрова Л.Д., Азатян В.В., Баратов А.Н. и др. //* Изв. АН СССР, сер. хим. 1976. Т. 25. С. 879.
- 22. Armstrong N., Simmons R.F. // Proceedings of International Symposium on Combustion. 1973. 14. P. 443.
- 23. *Peters N., Rogg B.* Reduced Kinetic Mechanisms for Applications in Combustion Systems. Berlin: Springer, 1993. 360 p.